

# 分散波列の碎波前後の流体力に関する実験的研究

東北大学 学生員 ○永富政司  
東北大学 正会員 岩崎敏夫  
東北大学 学生員 苫米地銳

## 1. はじめに

著者らは先に日本海中部地震による津波がソリトン分散波列であったことに着目し、2次元水路による模型実験を行ない、現象の再現を試みて成果を得た<sup>(\*)</sup>。以下前報と称する。そこで今回は、汀線付近に多數のテトラポッドを配置し、津波による砕散の状況を統計的に求め碎波前後の流体力との関連を研究した。

## 2. 汀線付近におけるソリトン波列の碎波と潮上

実験装置と諸元は前報の通りである。図-1に使用水路図を示す。ケースD-4の実験条件で分散波1波の碎波点から汀線を過ぎた直後まで( $X=38 \sim 50\text{ m}$ )の波形と流速の経時変化を図-2に示す。ここでは便宜上、先端の通過時間を0に合わせてある。分散波

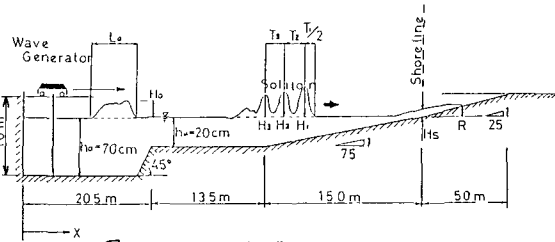


図-1 使用水路

2波が先行するオ1波目に追いつく点(以下合体点と呼ぶ)

の直後の位置( $X=48.8\text{ m}$ )で流速が急激に増加しているのがわかる。分散波列の潮上についての現象の特徴は上記のような分散波相互での干渉によって先端部で流速が急増し、瞬間的に波形勾配が大きくなる。また、オ3波は先行する流れを波形を維持したまま追い上がり、結局オ2波の先端に追いつく。最大潮上点はおおむね分散波3波目に生じている。このような形態での潮上高さを表現するためには、少なくともオ3波目までを含めた沖波のパラメータを選ぶ必要がある。ここでは一つの試みとしてKaplanと同様なやり方で実験データをプロットしたのが図-3である。 $H_0/L_0$ に適用限界があるが、実験値はKaplanの実験曲線のように右下がりの直線上に群がっており、勾配もKaplanのに近い。また図-4にオ3波目以降を含めた汀線での最大波高 $H_{s,max}$ と潮上高さRの関係を示すとほぼ $R=2H_{s,max}$ となり、上記のようなパラメータによるまとめ方の妥当性を裏づけているように思われる。

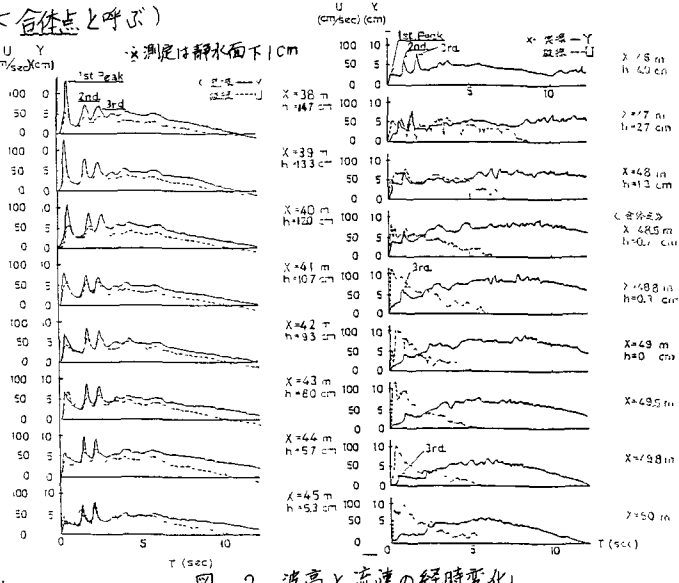


図-2 波高と流速の経時変化

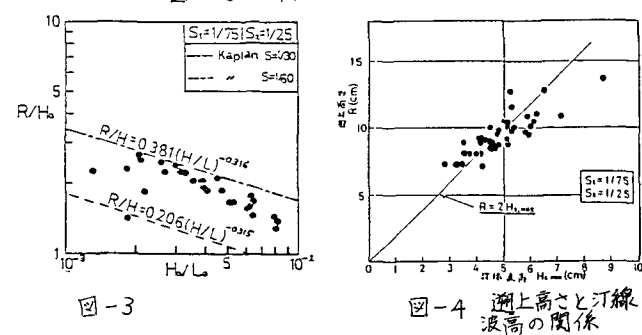


図-3

図-4 潮上高さと汀線波高の関係

### 3. テトラポッドの設置位置による移動状況の相違について

1/100の模型縮尺を想定して重さ16gと32gのテトラ(現地換算16ton, 32ton)を使用して汀線付近での移動状況を調べた。表-1に実験に使用したテトラの諸元を示す。最初はテトラを組まずに実験条件をケースD-4に統一して、設置位置を変えその移動範囲と分散オ3波目までのそれぞれの波峰直下の流速と波高の変化の関係を図-5に示した。

テトラの単体としての移動限界流速は、ある決まった値であることが実験よりわかっている。移動の状況はオ1波の通過する流速ではやや滑動する程度で、顕著な移動はオ2波が通過する時に起こる。さらに、オ3波が通過する際には水位もテトラの高さよりも大きくなっている。完全に浮遊した状態で流されいくのが観察された。これは分散オ3波目までが発達している場合の状況であり、ソリトン分裂の成長の度合いによって大きく移動状況が変化するため移動量の定量化は困難である。

次にテトラを組み合った護岸堤(下層4列、上層乱積みの2層積み、総数300個)を汀線に設置し、造波条件を変えて行った実験結果を図-6～図-9にまとめた。被害率の定義は(移動個数/総数)である。図-6, 7より散乱したテトラの平均移動量と標準偏差は被害率とかなり相關が大きい。なお護岸堤の上層と下層によるテトラの被害率、平均移動距離の違いはあまりなかった。また図-8～9から  $U_s, \max$ (汀線最大流速)と  $H_s, \max$  の積や、 $U_s^2, \max / 2g$  と  $H_s, \max$  の積ともかなり相関があることがわかる。しかし、設置位置が合体点の前か後かで散乱する状況が異なっており、合体点での水理特性を明らかにする必要がある。

4 結び 分散波列の斜面上の伝播と逆上の特性はオ1波とオ2波以降の挙動の違いにあり、流体力や逆上高さを把握する場合に特性量にオ3波を含むようなものを考える必要があることを実験より明らかにした。今後はソリトンの分裂度や海底勾配の違いにより上記の特性がどのようにわかるかを調べるのが課題といえる。

[参考文献] (\*) 岩崎 他3名 「日本海中部地震における津波の流体力について」 東北地域災害研究第20巻 昭和57年3月

表-1

重さ(g)	容積(cm <sup>3</sup> )	高さ(cm)	投影面積(cm <sup>2</sup> )
16	6.3	2.8	4.8
32	12.5	3.6	7.5

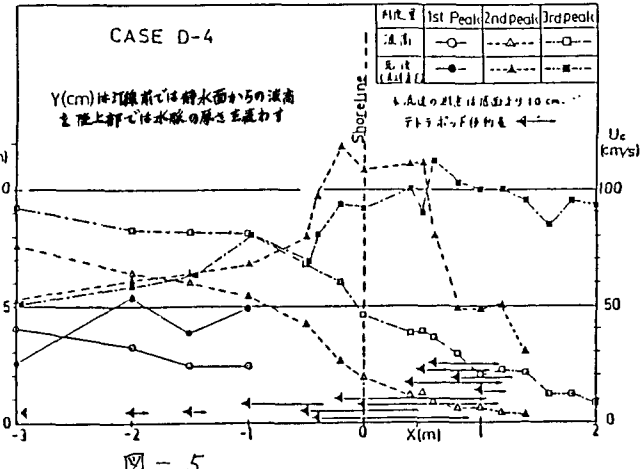


図-5

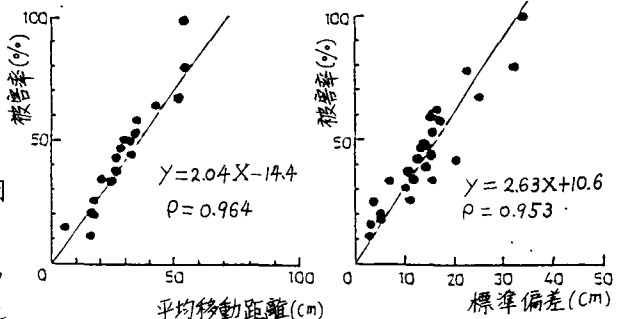


図-6

図-7

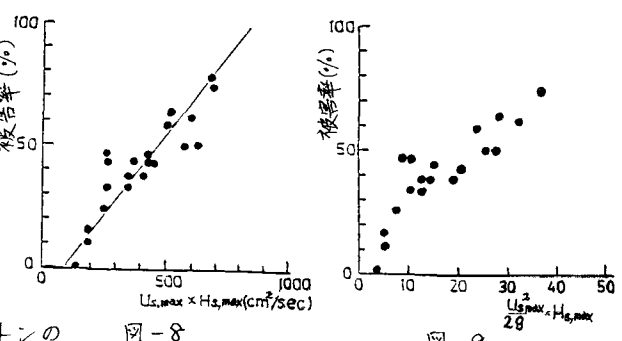


図-8

図-9